



Stochastische Aspekte der kosmischen Hintergrundstrahlung

Michael Wilczek

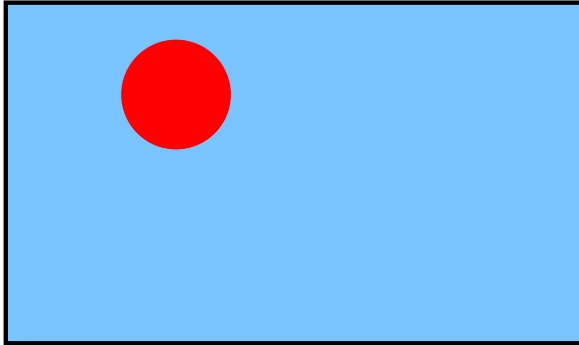
`mwilczek@web.de`

Institut für Theoretische Physik, WWU Münster

Überblick

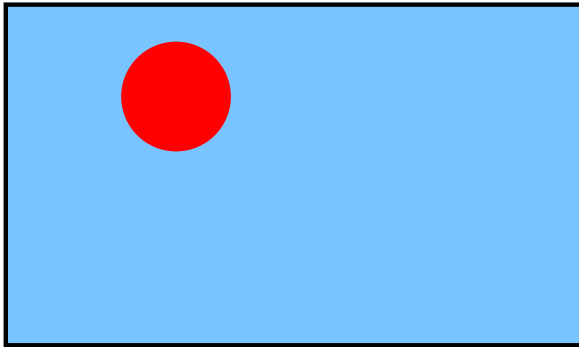
- ▷ die Fokker-Planck Gleichung
- ▷ die kosmische Hintergrundstrahlung (CMB)
- ▷ stochastische Analyse der CMB

Brownsche Bewegung



- ▷ betrachte Teilchen der Masse m in Flüssigkeit, unter Einfluß von Reibung

Brownsche Bewegung

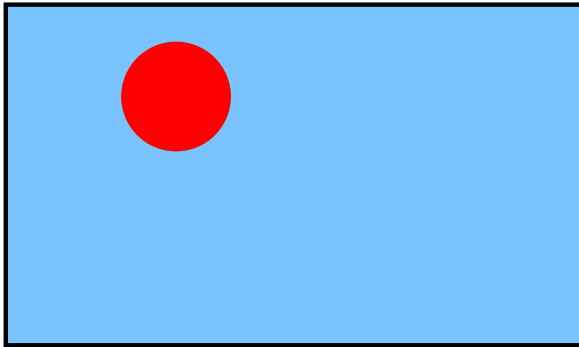


▷ betrachte Teilchen der Masse m in Flüssigkeit, unter Einfluß von Reibung

▷ deterministische Bewegungsgleichung:

$$m\dot{v} + \alpha v = 0$$

Brownsche Bewegung



▷ betrachte Teilchen der Masse m in Flüssigkeit, unter Einfluß von Reibung

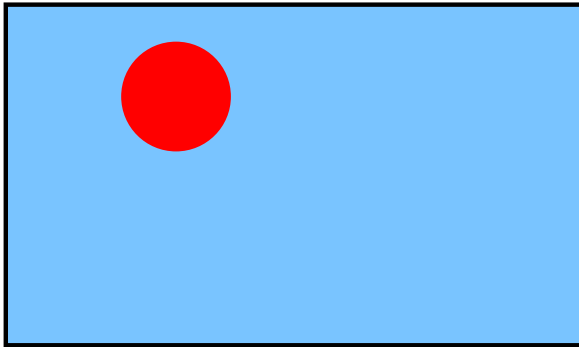
▷ deterministische Bewegungsgleichung:

$$m\dot{v} + \alpha v = 0$$

▷ Lösung:

$$v(t) = v(0) e^{-\frac{\alpha}{m}t}$$

Brownsche Bewegung



- ▷ betrachte Teilchen der Masse m in Flüssigkeit, unter Einfluß von Reibung

- ▷ deterministische Bewegungsgleichung:

$$m\dot{v} + \alpha v = 0$$

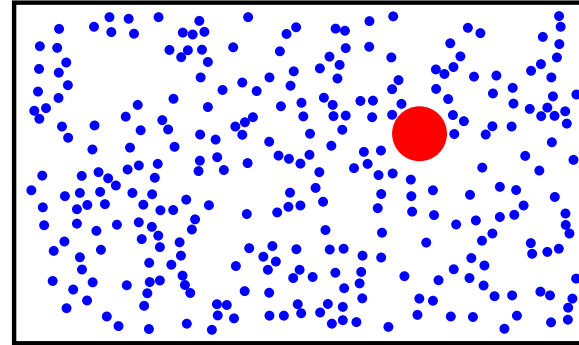
- ▷ Lösung:

$$v(t) = v(0) e^{-\frac{\alpha}{m}t}$$

- ▷ verliert Gültigkeit, wenn Teilchen kleiner wird

Brownsche Bewegung

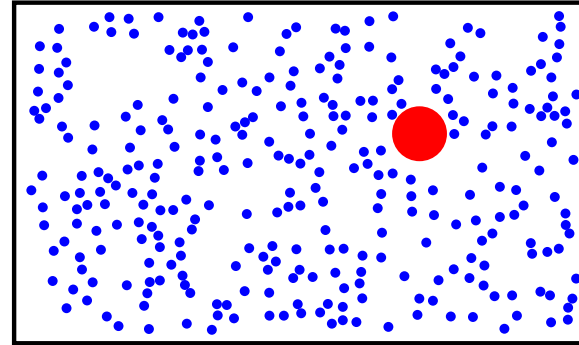
▷ Gleichverteilungssatz:



$$\frac{1}{2}m \langle v^2 \rangle = \frac{1}{2}kT$$

Brownsche Bewegung

▷ Gleichverteilungssatz:

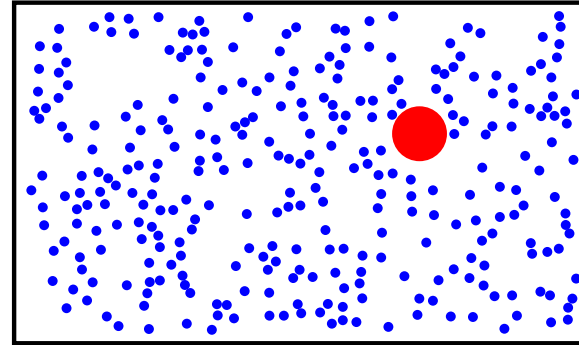


$$\frac{1}{2}m \langle v^2 \rangle = \frac{1}{2}kT$$

$$v_{th} = \sqrt{\langle v^2 \rangle} = \sqrt{\frac{kT}{m}}$$

Brownsche Bewegung

▷ Gleichverteilungssatz:



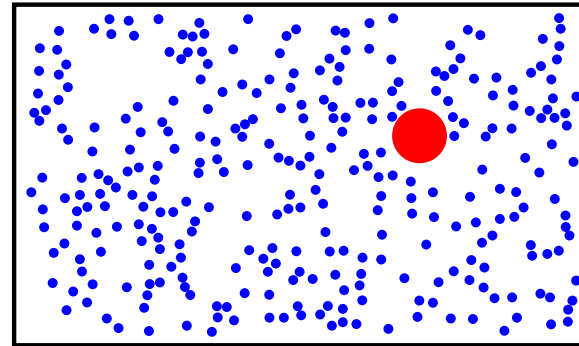
$$\frac{1}{2}m \langle v^2 \rangle = \frac{1}{2}kT$$

$$v_{th} = \sqrt{\langle v^2 \rangle} = \sqrt{\frac{kT}{m}}$$

▷ daher: stochastische Betrachtung notwendig:

Brownsche Bewegung

▷ Gleichverteilungssatz:



$$\frac{1}{2}m \langle v^2 \rangle = \frac{1}{2}kT$$

$$v_{th} = \sqrt{\langle v^2 \rangle} = \sqrt{\frac{kT}{m}}$$

▷ daher: stochastische Betrachtung notwendig:

$$F = F_r(t) + F_f(t) = -\alpha v(t) + F_f(t)$$

Brownsche Bewegung

▷ stochastische Differentialgleichung:

$$\dot{v} + \gamma v = \Gamma(t)$$

mit $\Gamma(t) = F_f(t)/m$ und $\gamma = \alpha/m$

Brownsche Bewegung

- ▷ stochastische Differentialgleichung:

$$\dot{v} + \gamma v = \Gamma(t)$$

mit $\Gamma(t) = F_f(t)/m$ und $\gamma = \alpha/m$

- ▷ Langevin-Kraft $\Gamma(t)$

$$\begin{aligned}\langle \Gamma(t) \rangle &= 0 \\ \langle \Gamma(t)\Gamma(t') \rangle &= \frac{2\gamma kT}{m} \delta(t - t')\end{aligned}$$

Brownsche Bewegung

- ▷ stochastische Differentialgleichung:

$$\dot{v} + \gamma v = \Gamma(t)$$

mit $\Gamma(t) = F_f(t)/m$ und $\gamma = \alpha/m$

- ▷ Langevin-Kraft $\Gamma(t)$

$$\langle \Gamma(t) \rangle = 0$$

$$\langle \Gamma(t)\Gamma(t') \rangle = \frac{2\gamma kT}{m} \delta(t - t')$$

- ▷ $v(t)$ wird zur stochastischen Größe

Brownsche Bewegung

- ▷ stochastische Differentialgleichung:

$$\dot{v} + \gamma v = \Gamma(t)$$

mit $\Gamma(t) = F_f(t)/m$ und $\gamma = \alpha/m$

- ▷ Langevin-Kraft $\Gamma(t)$

$$\langle \Gamma(t) \rangle = 0$$

$$\langle \Gamma(t)\Gamma(t') \rangle = \frac{2\gamma kT}{m} \delta(t - t')$$

- ▷ $v(t)$ wird zur stochastischen Größe
- ▷ interessant: Wahrscheinlichkeitsdichtefunktion (PDF)
 $P(v, t)$

Brownsche Bewegung

▷ Antwort: Fokker-Planck Gleichung:

$$\frac{\partial P(v, t)}{\partial t} = \gamma \frac{\partial v P(v, t)}{\partial v} + \gamma \frac{kT}{m} \frac{\partial^2 P(v, t)}{\partial v^2}$$

Brownsche Bewegung

- ▷ Antwort: Fokker-Planck Gleichung:

$$\frac{\partial P(v, t)}{\partial t} = \gamma \frac{\partial v P(v, t)}{\partial v} + \gamma \frac{kT}{m} \frac{\partial^2 P(v, t)}{\partial v^2}$$

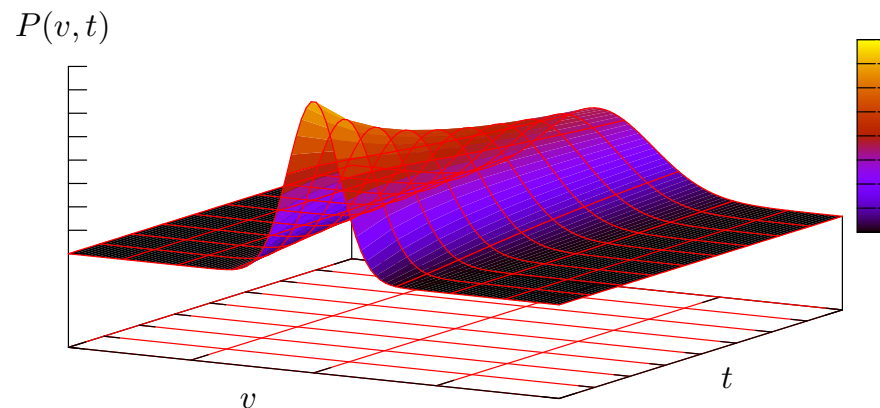
- ▷ partielle DGL, Evolutionsgleichung für PDF

Brownsche Bewegung

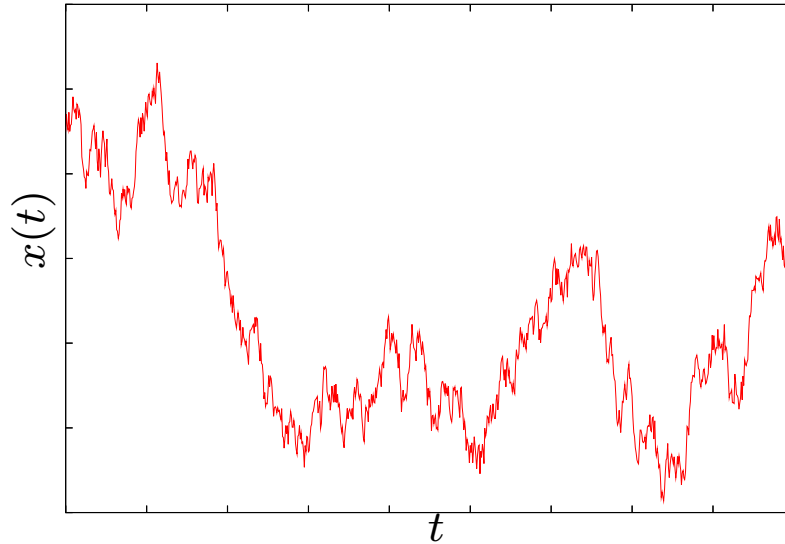
- ▷ Antwort: Fokker-Planck Gleichung:

$$\frac{\partial P(v, t)}{\partial t} = \gamma \frac{\partial v P(v, t)}{\partial v} + \gamma \frac{kT}{m} \frac{\partial^2 P(v, t)}{\partial v^2}$$

- ▷ partielle DGL, Evolutionsgleichung für PDF
- ▷ qualitativ:

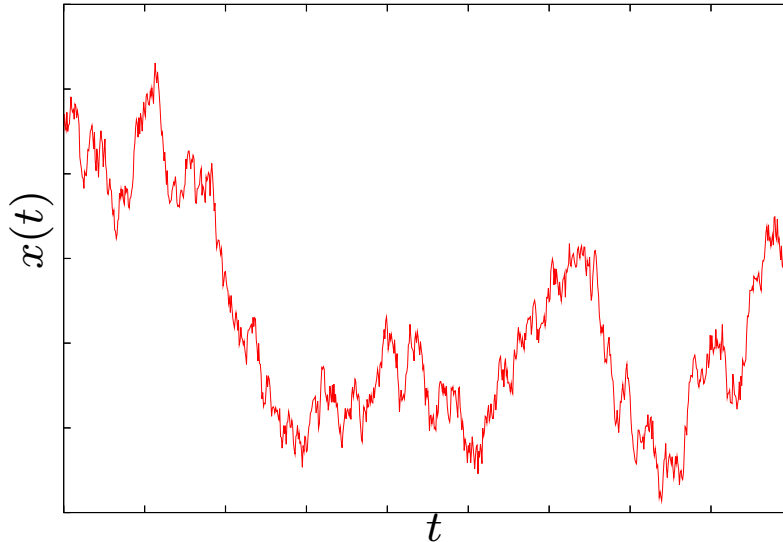


Grundlagen



▷ betrachte kontinuierliche, zeitabhängige Zufallsvariable $x(t)$

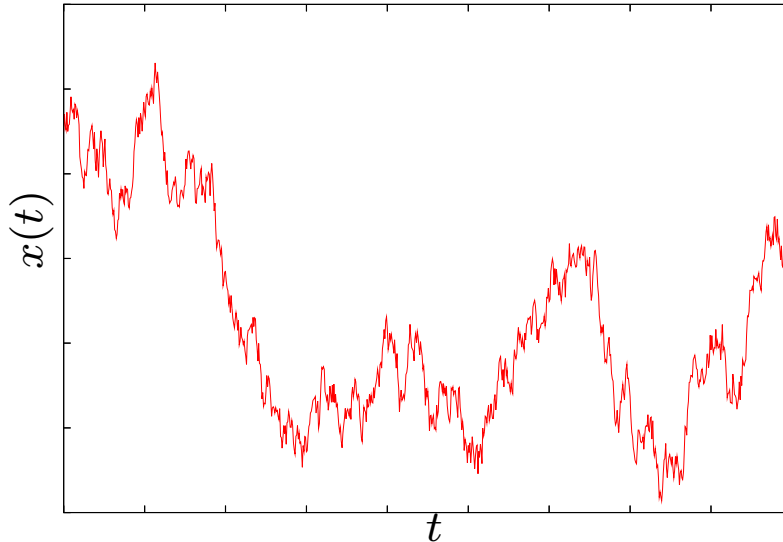
Grundlagen



▷ betrachte kontinuierliche, zeitabhängige Zufallsvariable $x(t)$

▷ $x(t) \Rightarrow$ Wahrscheinlichkeitsdichtefunktion $P(x, t)$

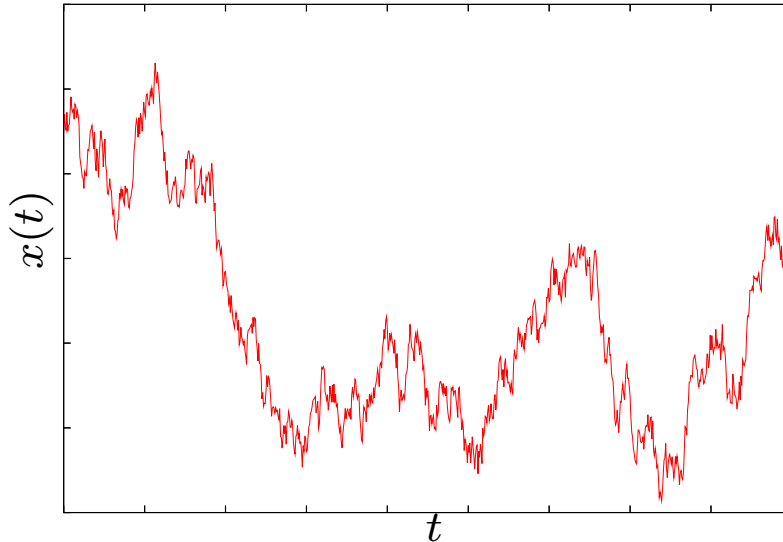
Grundlagen



▷ betrachte kontinuierliche, zeitabhängige Zufallsvariable $x(t)$

- ▷ $x(t) \Rightarrow$ Wahrscheinlichkeitsdichtefunktion $P(x, t)$
- ▷ Verbundwahrscheinlichkeit $P(x_3, t_3; x_2, t_2; x_1, t_1)$ mit $x_i = x(t_i)$

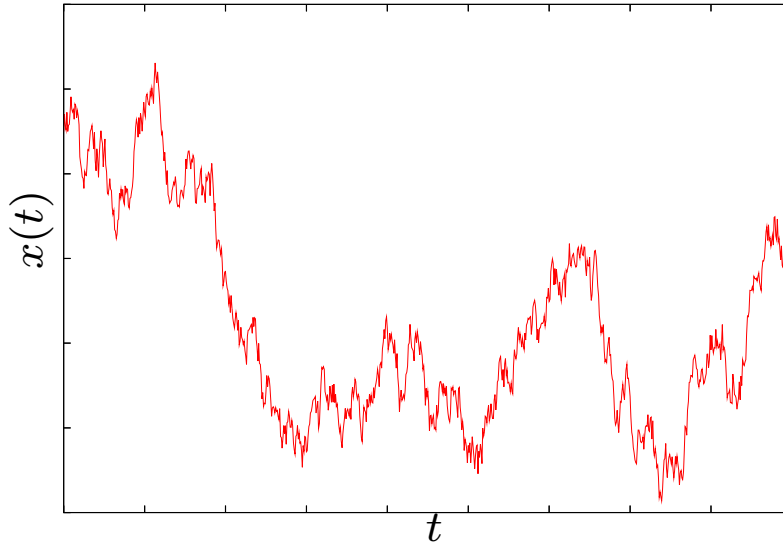
Grundlagen



▷ betrachte kontinuierliche, zeitabhängige Zufallsvariable $x(t)$

- ▷ $x(t) \Rightarrow$ Wahrscheinlichkeitsdichtefunktion $P(x, t)$
- ▷ Verbundwahrscheinlichkeit $P(x_3, t_3; x_2, t_2; x_1, t_1)$ mit $x_i = x(t_i)$
- ▷ bedingte Wahrscheinlichkeit $P(x_2, t_2 | x_1, t_1) = \frac{P(x_2, t_2; x_1, t_1)}{P(x_1, t_1)}$

Grundlagen



▷ betrachte kontinuierliche, zeitabhängige Zufallsvariable $x(t)$

- ▷ $x(t) \Rightarrow$ Wahrscheinlichkeitsdichtefunktion $P(x, t)$
- ▷ Verbundwahrscheinlichkeit $P(x_3, t_3; x_2, t_2; x_1, t_1)$ mit $x_i = x(t_i)$
- ▷ bedingte Wahrscheinlichkeit $P(x_2, t_2 | x_1, t_1) = \frac{P(x_2, t_2; x_1, t_1)}{P(x_1, t_1)}$
 $\Leftrightarrow P(x_2, t_2; x_1, t_1) = P(x_2, t_2 | x_1, t_1)P(x_1, t_1)$

Markov Prozess

Definition:

$$P(x_n, t_n | x_{n-1}, t_{n-1}, \dots, x_1, t_1) = P(x_n, t_n | x_{n-1}, t_{n-1})$$

betrachte:

$$\begin{aligned} P(x_3, t_3; x_2, t_2; x_1, t_1) &= P(x_3, t_3 | x_2, t_2) P(x_2, t_2; x_1, t_1) \\ &= P(x_3, t_3 | x_2, t_2) P(x_2, t_2 | x_1, t_1) P(x_1, t_1) \end{aligned}$$

$$\int P(x_3, t_3; x_2, t_2; x_1, t_1) dx_2 = P(x_3, t_3; x_1, t_1)$$

Markov Prozess

$$P(x_3, t_3; x_1, t_1) = \int P(x_3, t_3 | x_2, t_2) P(x_2, t_2 | x_1, t_1) P(x_1, t_1) dx_2$$

$$P(x_3, t_3 | x_1, t_1) = \int P(x_3, t_3 | x_2, t_2) P(x_2, t_2 | x_1, t_1) dx_2$$

Chapman-Kolmogorov Gleichung

Fokker-Planck Gleichung

- ▷ Idee: partielle Differentialgleichung für PDF

Fokker-Planck Gleichung

- ▷ Idee: partielle Differentialgleichung für PDF
- ▷ Integration liefert zeitliche Entwicklung der PDF

Fokker-Planck Gleichung

- ▷ Idee: partielle Differentialgleichung für PDF
- ▷ Integration liefert zeitliche Entwicklung der PDF
- ▷ Herleitung aus der Kramers-Moyal Entwicklung:

$$\frac{\partial P(x, t)}{\partial t} = \sum_{n=0}^{\infty} \left(-\frac{\partial}{\partial x} \right)^n D^{(n)}(x, t) P(x, t)$$

Fokker-Planck Gleichung

- ▷ Idee: partielle Differentialgleichung für PDF
- ▷ Integration liefert zeitliche Entwicklung der PDF
- ▷ Herleitung aus der Kramers-Moyal Entwicklung:

$$\frac{\partial P(x, t)}{\partial t} = \sum_{n=0}^{\infty} \left(-\frac{\partial}{\partial x} \right)^n D^{(n)}(x, t) P(x, t)$$

- ▷ PDF ist vollständig durch zwei Entwicklungskoeffizienten charakterisiert

FPG: Herleitung

Identität:

$$P(x, t + \tau | x', t) = \int \delta(y - x) P(y, t + \tau | x', t) dy$$

formale Taylorentwicklung der Deltafunktion:

$$\begin{aligned} \delta(y - x) &= \delta(x' - x + y - x') \\ &= \sum_{n=0}^{\infty} \frac{(y - x')^n}{n!} \left(-\frac{\partial}{\partial x}\right)^n \delta(x' - x) \end{aligned}$$

Definition Momente:

$$M_n = \int (y - x')^n P(y, t + \tau | x', t) dy$$

FPG: Herleitung

einsetzen und Identifizierung der Momente

$$P(x, t + \tau | x', t) = \left[1 + \sum_{n=0}^{\infty} \frac{1}{n!} \left(-\frac{\partial}{\partial x}\right)^n M_n(x', t, \tau) \right] \delta(x' - x)$$

mit

$$P(x, t + \tau) = \int P(x, t + \tau | x', t) P(x', t) dx'$$

$$P(x, t + \tau) - P(x, t) = \frac{\partial P(x, t)}{\partial t} \tau + O(\tau^2)$$

und

$$M_n(x, t, \tau)/n! = D^{(n)}(x, t)\tau + O(\tau^2)$$

FPG: Herleitung

folgt schließlich

$$\frac{\partial P(x, t)}{\partial t} = \sum_{n=0}^{\infty} \left(-\frac{\partial}{\partial x} \right)^n D^{(n)}(x, t) P(x, t)$$

Kramers-Moyal Entwicklung

FPG: Herleitung

folgt schließlich

$$\frac{\partial P(x, t)}{\partial t} = \sum_{n=0}^{\infty} \left(-\frac{\partial}{\partial x} \right)^n D^{(n)}(x, t) P(x, t)$$

Kramers-Moyal Entwicklung

▷ partielle DGL für die Entwicklung der PDF

FPG: Herleitung

folgt schließlich

$$\frac{\partial P(x, t)}{\partial t} = \sum_{n=0}^{\infty} \left(-\frac{\partial}{\partial x} \right)^n D^{(n)}(x, t) P(x, t)$$

Kramers-Moyal Entwicklung

- ▷ partielle DGL für die Entwicklung der PDF
- ▷ Problem: unendlich hohe Ordnungen

FPG: Herleitung

$$\frac{\partial P(x, t)}{\partial t} = \sum_{n=0}^{\infty} \left(-\frac{\partial}{\partial x} \right)^n D^{(n)}(x, t) P(x, t)$$

FPG: Herleitung

$$\frac{\partial P(x, t)}{\partial t} = \sum_{n=0}^{\infty} \left(-\frac{\partial}{\partial x} \right)^n D^{(n)}(x, t) P(x, t)$$

- ▷ Pawula Theorem: Wenn bei der Kramers-Moyal-Entwicklung der vierte Term verschwindet, verschwinden auch der dritte Term sowie alle höheren Ordnungen.
- ▷ bei gaußverteilter Fluktuationskraft erfüllt

FPG: Herleitung

$$\frac{\partial P(x, t)}{\partial t} = \sum_{n=0}^{\infty} \left(-\frac{\partial}{\partial x} \right)^n D^{(n)}(x, t) P(x, t)$$

- ▷ Pawula Theorem: Wenn bei der Kramers-Moyal-Entwicklung der vierte Term verschwindet, verschwinden auch der dritte Term sowie alle höheren Ordnungen.
- ▷ bei gaußverteilter Fluktuationskraft erfüllt

$$\frac{\partial P(x, t)}{\partial t} = -\frac{\partial}{\partial x} D^{(1)}(x, t) P(x, t) + \frac{\partial^2}{\partial x^2} D^{(2)}(x, t) P(x, t)$$

Fokker-Planck Gleichung

FPG: Bemerkungen

$$\frac{\partial P(x, t)}{\partial t} = -\frac{\partial}{\partial x} D^{(1)}(x, t) P(x, t) + \frac{\partial^2}{\partial x^2} D^{(2)}(x, t) P(x, t)$$

Fokker-Planck Gleichung

FPG: Bemerkungen

$$\frac{\partial P(x, t)}{\partial t} = -\frac{\partial}{\partial x} D^{(1)}(x, t) P(x, t) + \frac{\partial^2}{\partial x^2} D^{(2)}(x, t) P(x, t)$$

Fokker-Planck Gleichung

▷ partielle DGL zweiter Ordnung

FPG: Bemerkungen

$$\frac{\partial P(x, t)}{\partial t} = -\frac{\partial}{\partial x} D^{(1)}(x, t) P(x, t) + \frac{\partial^2}{\partial x^2} D^{(2)}(x, t) P(x, t)$$

Fokker-Planck Gleichung

- ▷ partielle DGL zweiter Ordnung
- ▷ PDF ist vollständig durch Drift- und Diffusionskoeffizienten bestimmt

FPG: Bemerkungen

$$\frac{\partial P(x, t)}{\partial t} = -\frac{\partial}{\partial x} D^{(1)}(x, t) P(x, t) + \frac{\partial^2}{\partial x^2} D^{(2)}(x, t) P(x, t)$$

Fokker-Planck Gleichung

- ▷ partielle DGL zweiter Ordnung
- ▷ PDF ist vollständig durch Drift- und Diffusionskoeffizienten bestimmt
- ▷ FPG analytisch lösbar z.B. im Falle von:
 - ▷ Wienerprozess: zeitlich stationär, verschwindender Diffusionskoeffizient
 - ▷ Ornstein-Uhlenbeckprozess: linearer Drift-, konstanter Diffusionskoeffizient

FPG: Anwendung auf Daten

- ▶ Ziel: Schätzung der Drift- und Diffusionskoeffizienten

$$D^{(n)}(x, t) = \frac{1}{n!} \lim_{\tau \rightarrow 0} M_n = \frac{1}{n!} \lim_{\tau \rightarrow 0} \int (y-x')^n P(y, t+\tau | x', t) dy$$

FPG: Anwendung auf Daten

- ▷ Ziel: Schätzung der Drift- und Diffusionskoeffizienten

$$D^{(n)}(x, t) = \frac{1}{n!} \lim_{\tau \rightarrow 0} M_n = \frac{1}{n!} \lim_{\tau \rightarrow 0} \int (y-x')^n P(y, t+\tau | x', t) dy$$

- ▷ Problem: reale Prozesse sind meist nur eingeschränkt markovsch (vgl. Brownsche Bewegung)

FPG: Anwendung auf Daten

- ▷ Ziel: Schätzung der Drift- und Diffusionskoeffizienten

$$D^{(n)}(x, t) = \frac{1}{n!} \lim_{\tau \rightarrow 0} M_n = \frac{1}{n!} \lim_{\tau \rightarrow 0} \int (y-x')^n P(y, t+\tau | x', t) dy$$

- ▷ Problem: reale Prozesse sind meist nur eingeschränkt markovsch (vgl. Brownsche Bewegung)
- ▷ Problem: Daten sind nur endlich aufgelöst

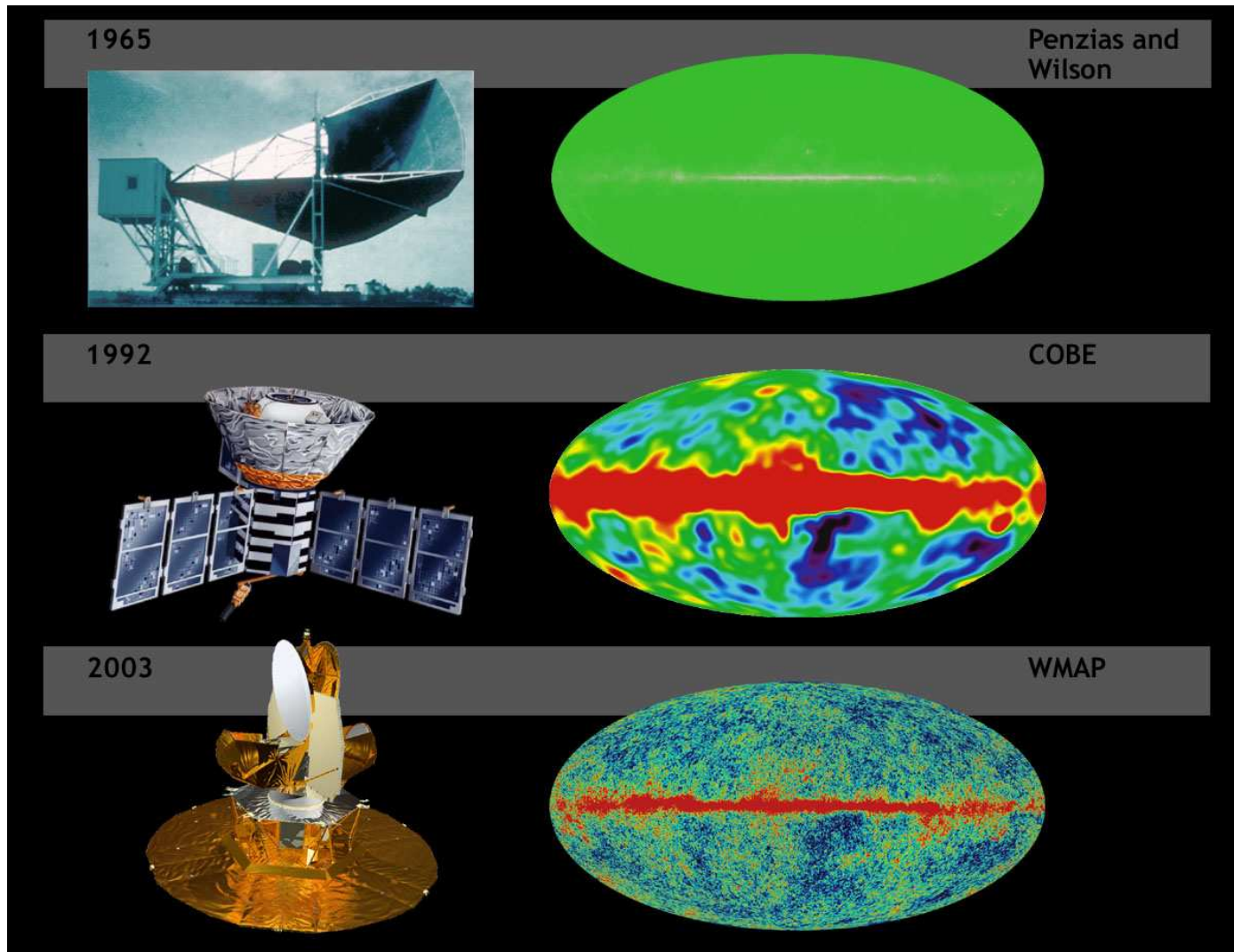
FPG: Anwendungsbeispiele

- ▷ turbulente Strömung (Friedrich/ Peinke)
- ▷ Devisenhandel, Aktienmarkt
- ▷ Windfelder
- ▷ Kristallwachstum
- ▷ kosmische Hintergrundstrahlung

CMB: Entdeckung und Erforschung

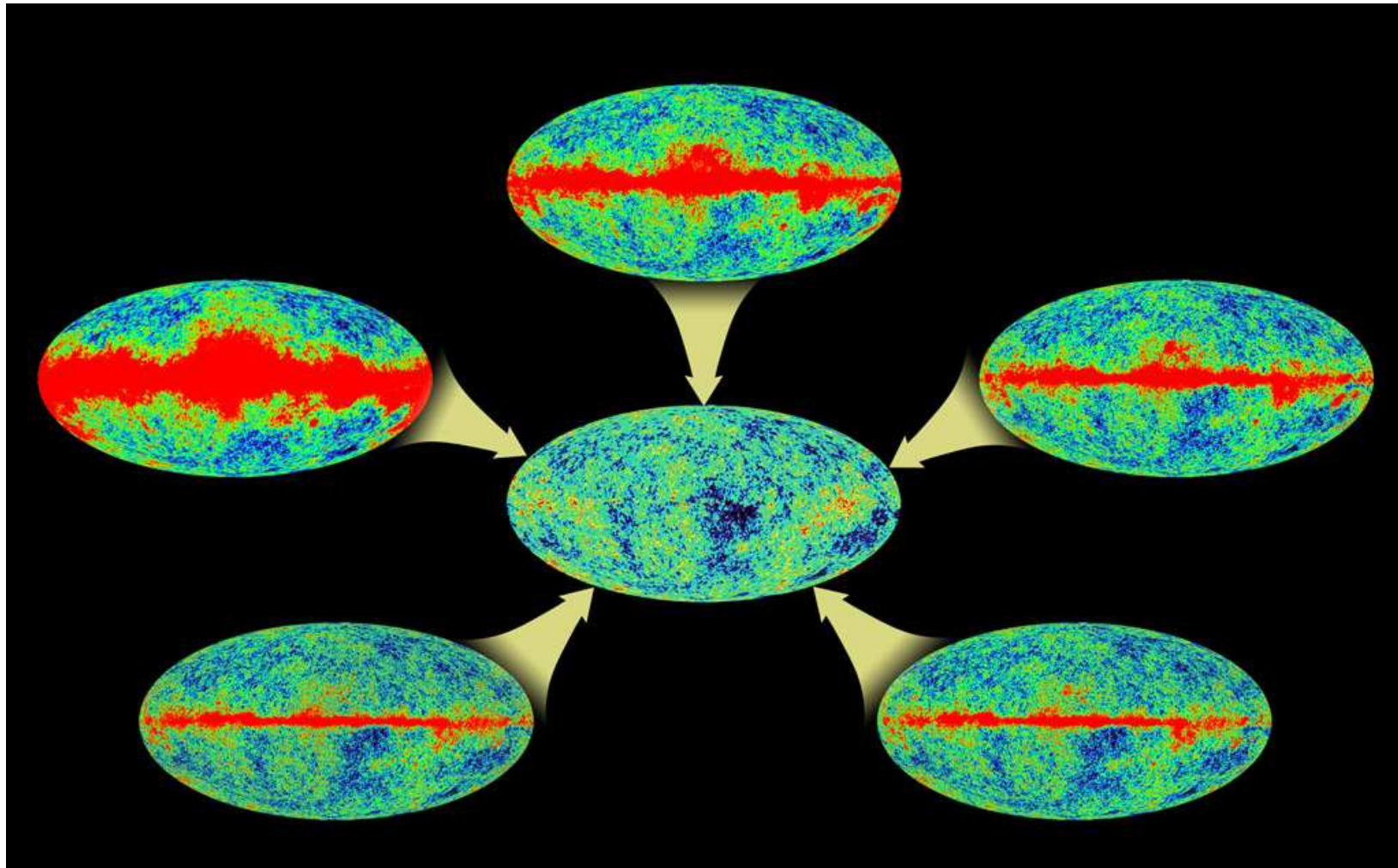
- ▷ Mikrowellenstrahlung erfüllt gesamten Himmel nahezu isotrop
- ▷ Schwarzkörperstrahlung mit Maximum bei $T = 2.725$ K
- ▷ 1948 vorhergesagt von George Gamow ($T = 5$ K)
- ▷ weitere Berechnungen 1950 von Alpher und Herman
- ▷ erste Beobachtung 1965 durch Penzias und Wilson, Bell Telephone Laboratories, New Jersey
- ▷ Deutung durch Dicke und Wilkinson
- ▷ zahlreiche Boden-, Ballon- und Satellitengestützte Forschungsmissionen, z.b. COBE und WMAP

CMB: Erforschung und Entdeckung



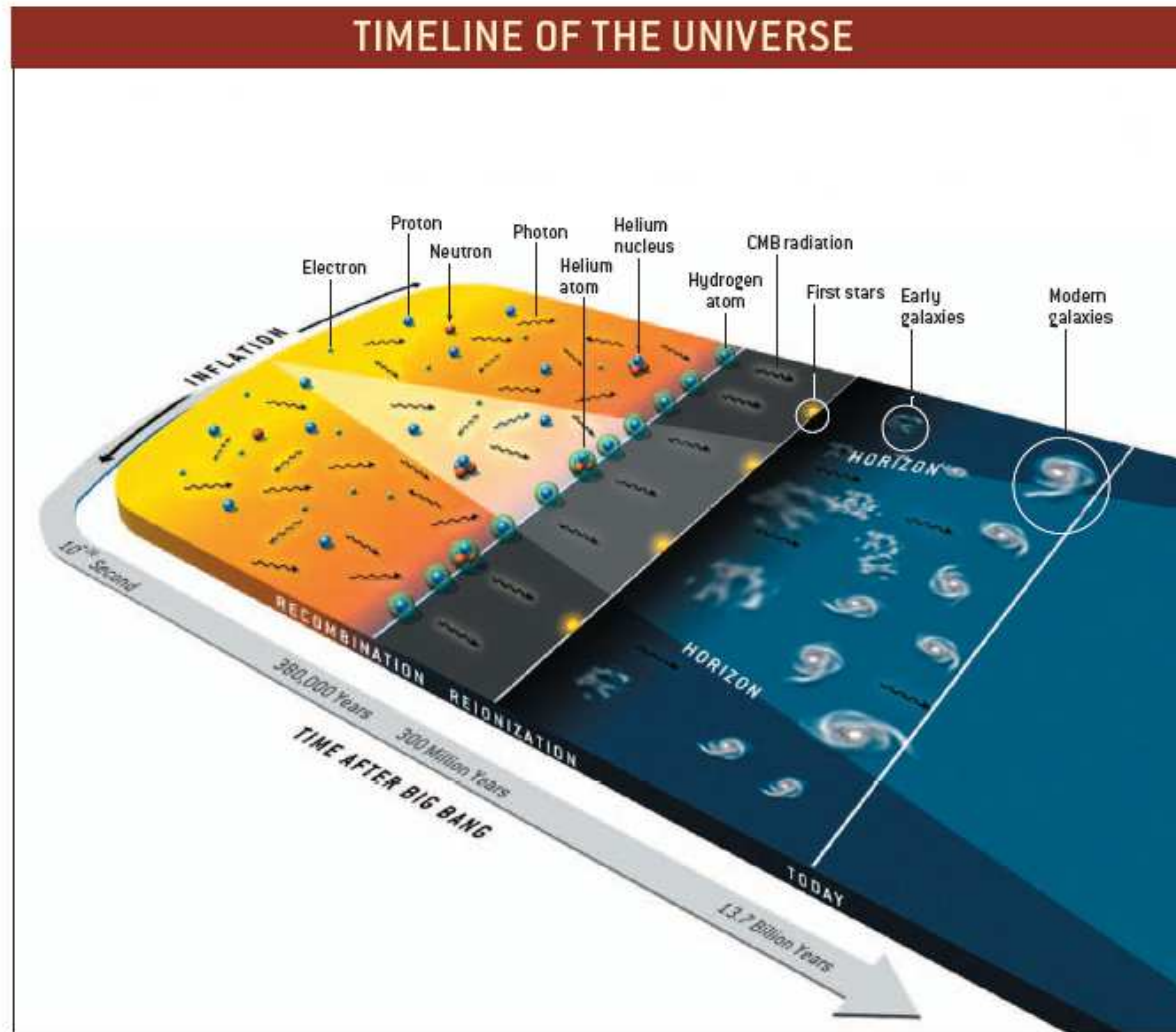
NASA/WMAP Science Team, map.gsfc.nasa.gov

CMB: WMAP data



NASA/WMAP Science Team, map.gsfc.nasa.gov

CMB: Entstehung



Wayne Hu, Martin White, Scientific American 02/04

CMB: Entstehung

- ▶ zu Beginn: heißes Plasma aus Protonen, Elektronen und Photonen

CMB: Entstehung

- ▷ zu Beginn: heißes Plasma aus Protonen, Elektronen und Photonen
- ▷ Entstehung von Wasserstoff wird durch Strahlung verhindert

CMB: Entstehung

- ▷ zu Beginn: heißes Plasma aus Protonen, Elektronen und Photonen
- ▷ Entstehung von Wasserstoff wird durch Strahlung verhindert
- ▷ Universum expandiert

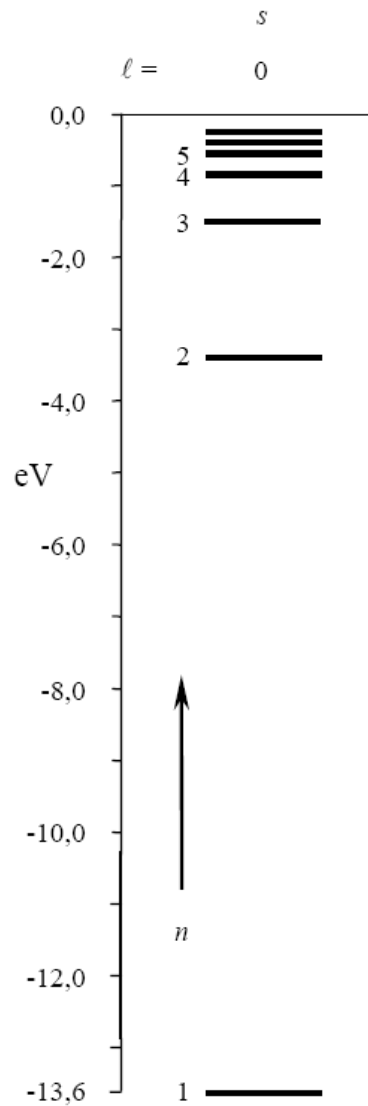
CMB: Entstehung

- ▷ zu Beginn: heißes Plasma aus Protonen, Elektronen und Photonen
- ▷ Entstehung von Wasserstoff wird durch Strahlung verhindert
- ▷ Universum expandiert
- ▷ Expansion streckt Photonenwellenlänge

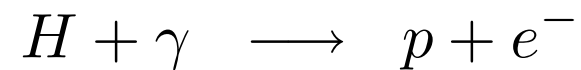
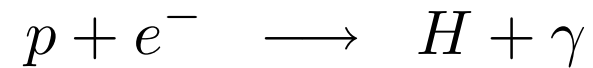
CMB: Entstehung

- ▷ zu Beginn: heißes Plasma aus Protonen, Elektronen und Photonen
- ▷ Entstehung von Wasserstoff wird durch Strahlung verhindert
- ▷ Universum expandiert
- ▷ Expansion streckt Photonenwellenlänge
- ▷ Rekombination wird möglich

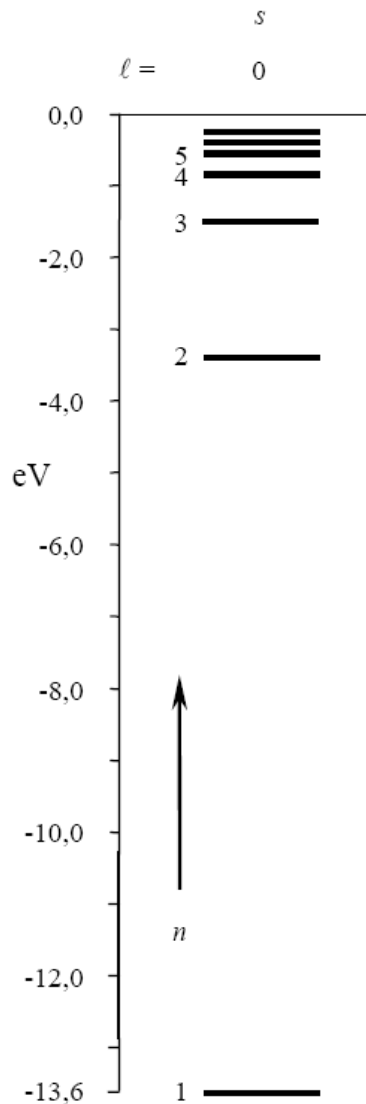
CMB: Entstehung



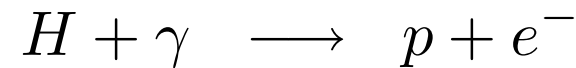
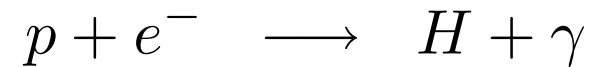
▷ kein Nettozuwachs durch Rekombination in den Grundzustand:



CMB: Entstehung

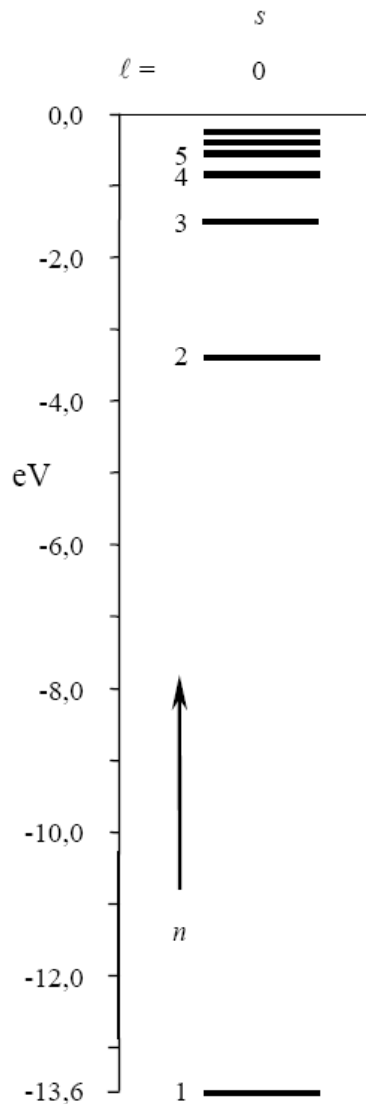


▷ kein Nettozuwachs durch Rekombination in den Grundzustand:

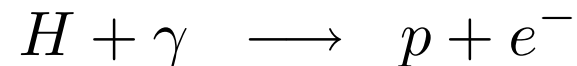
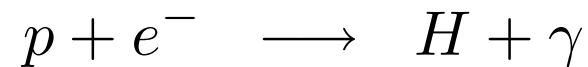


▷ Übergang von $2s$ zu $1s$ mit einem Photon verboten

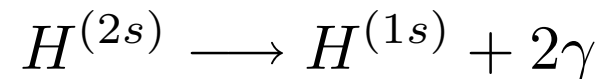
CMB: Entstehung



- ▷ kein Nettozuwachs durch Rekombination in den Grundzustand:



- ▷ Übergang von $2s$ zu $1s$ mit einem Photon verboten
- ▷ aber: 2-Photonprozess möglich:



CMB: Entstehung

▷ Universum wird „durchsichtig“

CMB: Entstehung

- ▷ Universum wird „durchsichtig“
- ▷ surface of last scattering: 380 kyr nach dem Urknall

CMB: Entstehung

- ▷ Universum wird „durchsichtig“
- ▷ surface of last scattering: 380 kyr nach dem Urknall
- ▷ Photonen strömen wechselwirkungsfrei durch das All

⇒ CMB

CMB: Anisotropien

- ▷ nahezu isotrope Mikrowellenstrahlung bei $T = 2.725\text{K}$
- ▷ aber: Temperaturfluktuationen im Bereich von $1 : 100000$
- ▷ Anisotropien sind auf verschiedenen Skalen unterschiedlich stark ausgeprägt
- ▷ interessant: Ursprung und räumliche Verteilung dieser Fluktuationen

CMB: Ursprung der Anisotropien

- ▷ betrachte Fluid aus Baryonen, Photonen, dunkler Energie und dunkler Materie vor der Rekombination

CMB: Ursprung der Anisotropien

- ▷ betrachte Fluid aus Baryonen, Photonen, dunkler Energie und dunkler Materie vor der Rekombination
- ▷ dunkle Materie krümmt die Raumzeit

CMB: Ursprung der Anisotropien

- ▷ betrachte Fluid aus Baryonen, Photonen, dunkler Energie und dunkler Materie vor der Rekombination
- ▷ dunkle Materie krümmt die Raumzeit
- ▷ Photonen sammeln sich in Potentialmulden

CMB: Ursprung der Anisotropien

- ▷ betrachte Fluid aus Baryonen, Photonen, dunkler Energie und dunkler Materie vor der Rekombination
- ▷ dunkle Materie krümmt die Raumzeit
- ▷ Photonen sammeln sich in Potentialmulden
- ▷ Gravitation vs. Strahlungsdruck

CMB: Ursprung der Anisotropien

- ▷ betrachte Fluid aus Baryonen, Photonen, dunkler Energie und dunkler Materie vor der Rekombination
- ▷ dunkle Materie krümmt die Raumzeit
- ▷ Photonen sammeln sich in Potentialmulden
- ▷ Gravitation vs. Strahlungsdruck
- ▷ volles Problem: relativistische Rechnung für Photonenverteilung

CMB: Ursprung der Anisotropien

- ▷ betrachte Fluid aus Baryonen, Photonen, dunkler Energie und dunkler Materie vor der Rekombination
- ▷ dunkle Materie krümmt die Raumzeit
- ▷ Photonen sammeln sich in Potentialmulden
- ▷ Gravitation vs. Strahlungsdruck
- ▷ volles Problem: relativistische Rechnung für Photonenverteilung
- ▷ Vereinfachung: betrachte lineare Perturbationen
⇒ Perturbationen zerfallen in Normalmoden

CMB: akustische Oszillationen

konformale „Zeit“:

$$\eta = \int_0^t \frac{c}{a(t')} dt$$

Schallgeschwindigkeit:

$$c_S = \frac{\dot{p}}{\dot{\rho}} = \frac{c}{\sqrt{3(1+R)}}$$

wobei

$$R = \frac{3\rho_B}{4\rho_\gamma} = 3 \cdot 10^4 a \Omega_B h^2$$

„Baryon-Photon-Verhältnis“

CMB: akustische Oszillationen

- ▷ Temperaturfluktuationen $\theta_0 = \frac{\Delta T}{T}$
- ▷ einfache Bewegungsgleichung für Perturbationen:

$$\ddot{\theta}_0 + k^2 c_S^2 \theta_0 \approx -k^2 c^2 \Psi - \ddot{\Phi}$$

- ▷ getriebener harmonischer Oszillator mit
 - ▷ Ψ : Newtonsches Gravitationspotential
 - ▷ $\Phi = -\Psi$: Perturbationen in der Raumzeit
- ▷ letztlich: ebene Wellen

CMB: akustische Oszillationen

$$\ddot{\theta}_0 + k^2 c_S^2 \theta_0 \approx -k^2 c^2 \Psi - \ddot{\Phi}$$

Vereinfachungen:

- ▷ statisches Potential
- ▷ niedrige Baryonendichte: $c_S = \frac{c}{\sqrt{3}}$

Lösung unter geeigneten Anfangsbedingungen:

$$\theta_0(\eta) = \frac{1}{3} \Psi \cos(kc_S \eta) - \Psi$$

⇒ Fluid führt akustische Oszillationen aus

CMB: akustische Oszillationen

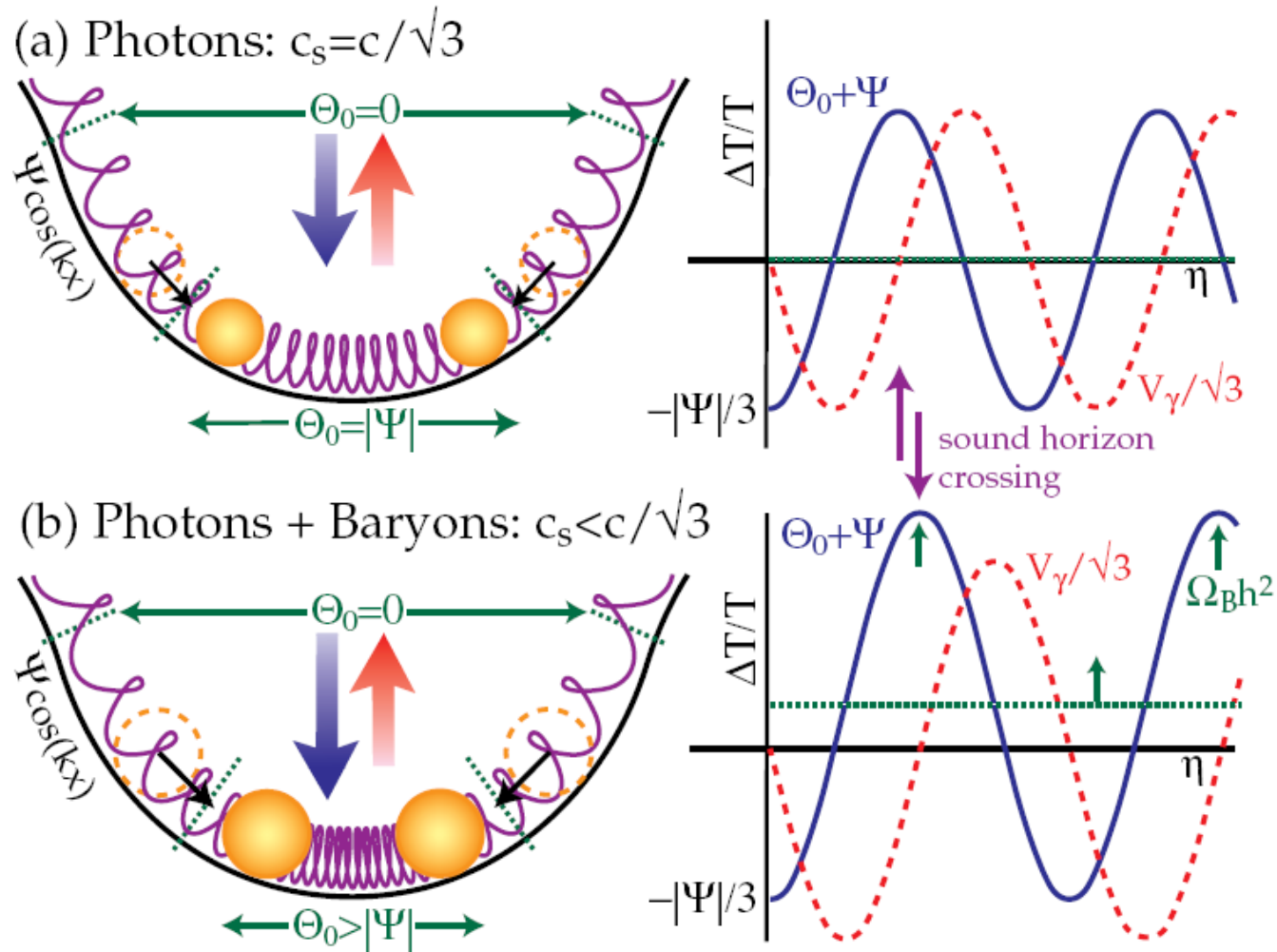
$$\theta_0(\eta) = \frac{1}{3} \Psi \cos(kc_s \eta) - \Psi$$

- ▷ surface of last scattering: η_* , Rekombination
- ▷ kritische Wellenlänge:

$$k = \frac{\pi}{c_s \eta_*}$$

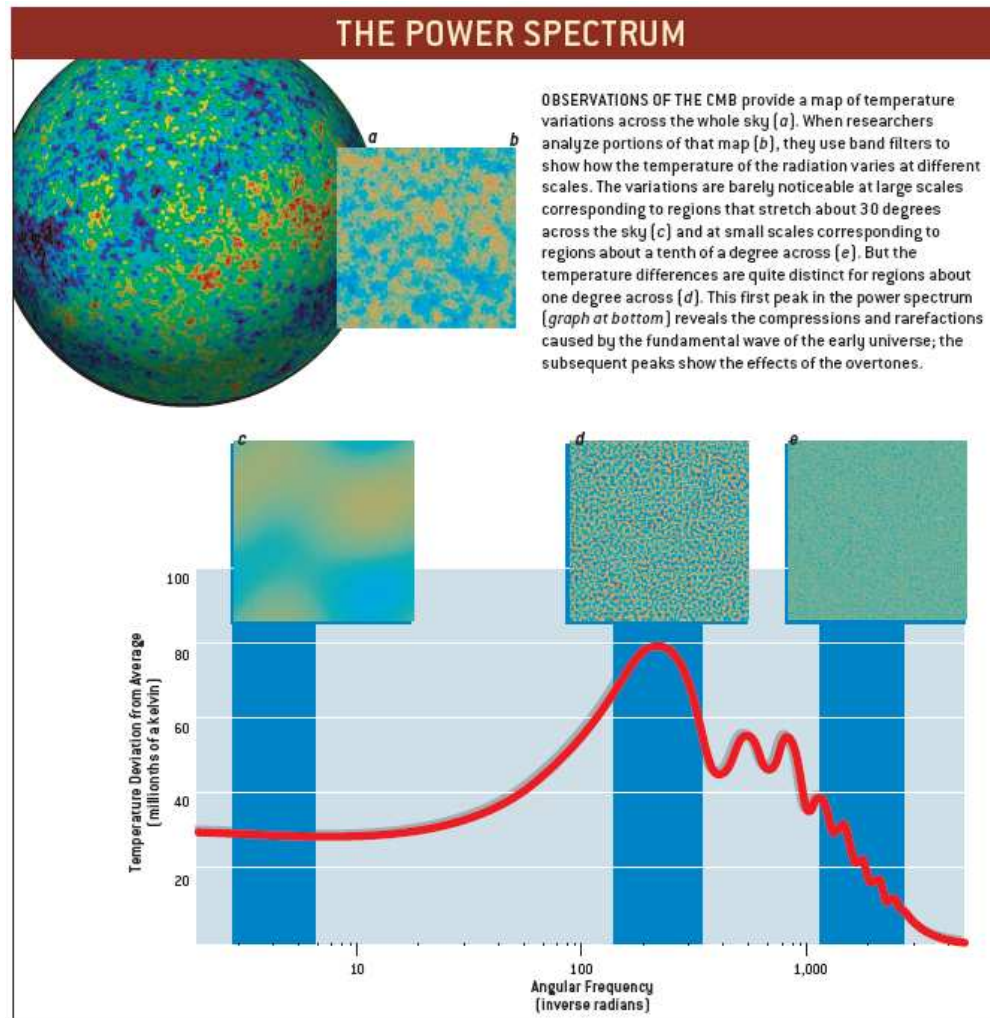
- ▷ Perturbationen mit größerer Wellenlänge unterdrückt
- ▷ Prozess friert durch Rekombination ein
- ▷ Oszillationen im CMB Spektrum sichtbar

CMB: akustische Oszillationen schematisch



Hu, Sugiyama, Silk, astro-ph/9504057

CMB: Powerspektrum



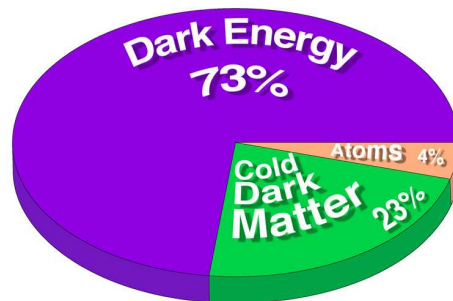
Wayne Hu, Martin White, Scientific American 02/04

CMB: Powerspektrum und kosmische Parameter

- ▷ CMB ist eine starke Stütze für Inflationstheorie

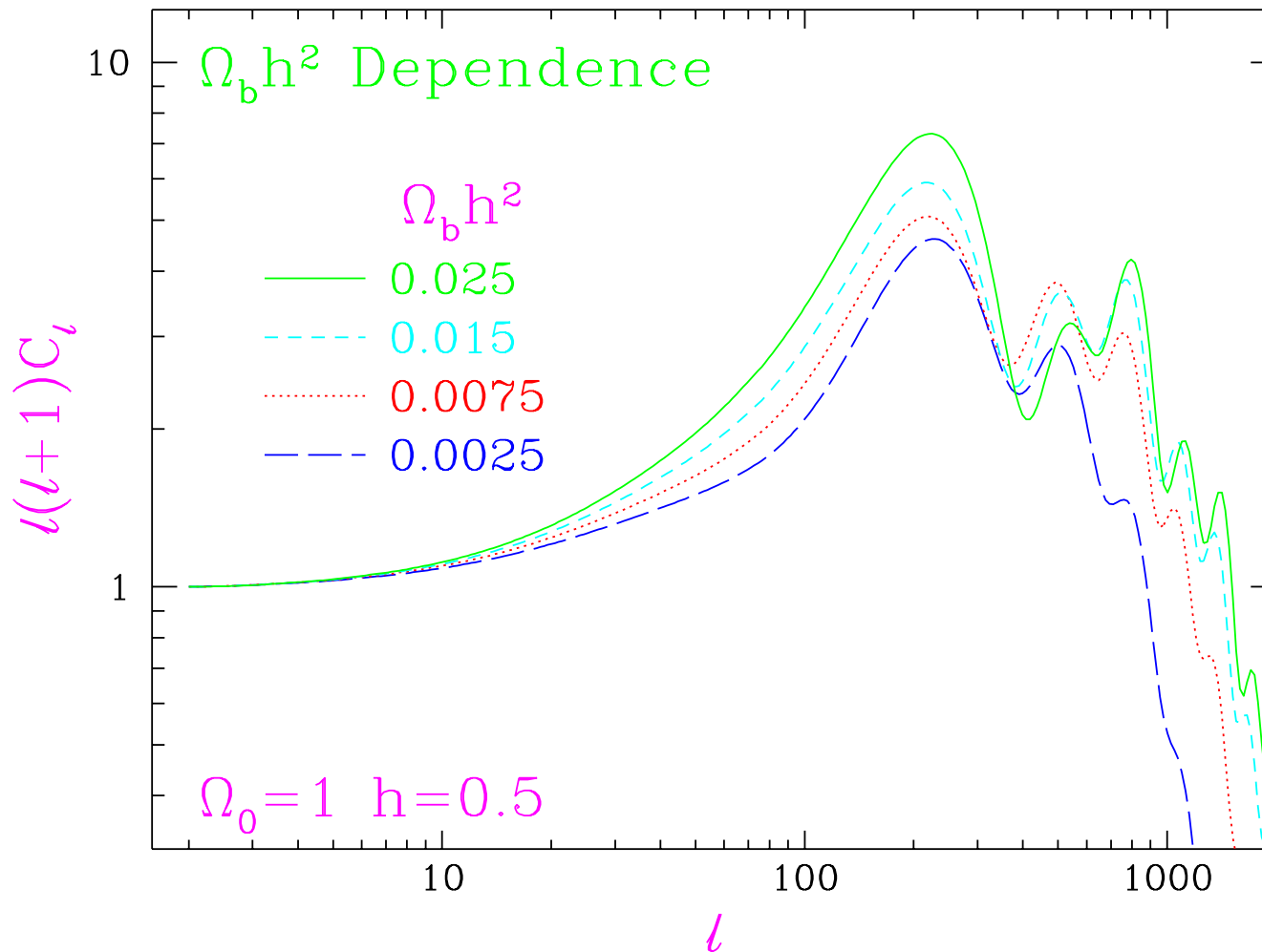
CMB: Powerspektrum und kosmische Parameter

- ▷ CMB ist eine starke Stütze für Inflationstheorie
- ▷ kosmische Parameter sind im Powerspektrum codiert, z.B.
 - ▷ Baryondichte
 - ▷ Massendichte
 - ▷ Raumkrümmung
 - ▷ Zusammensetzung des Universums



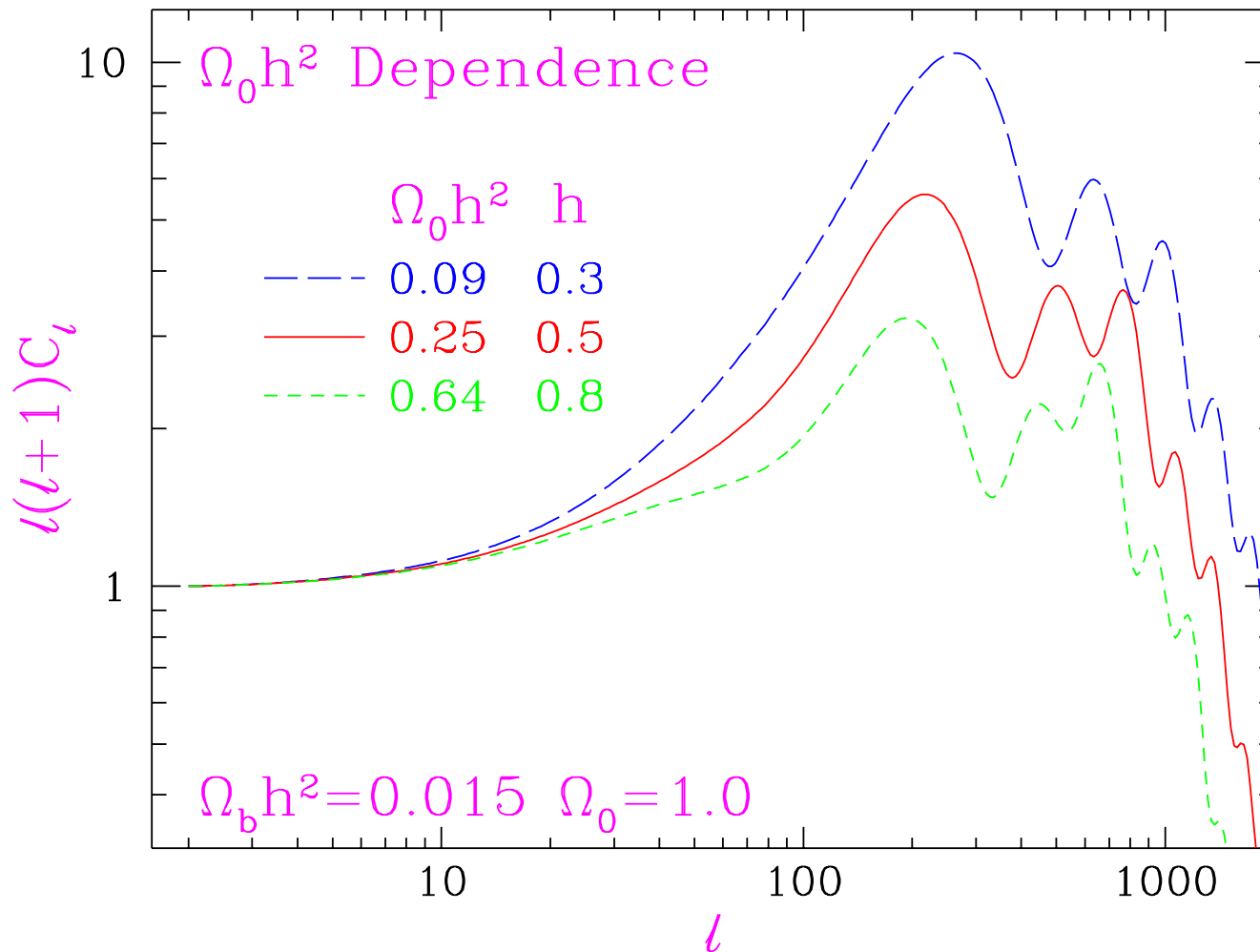
NASA/WMAP Science Team

CMB: Baryonendichte



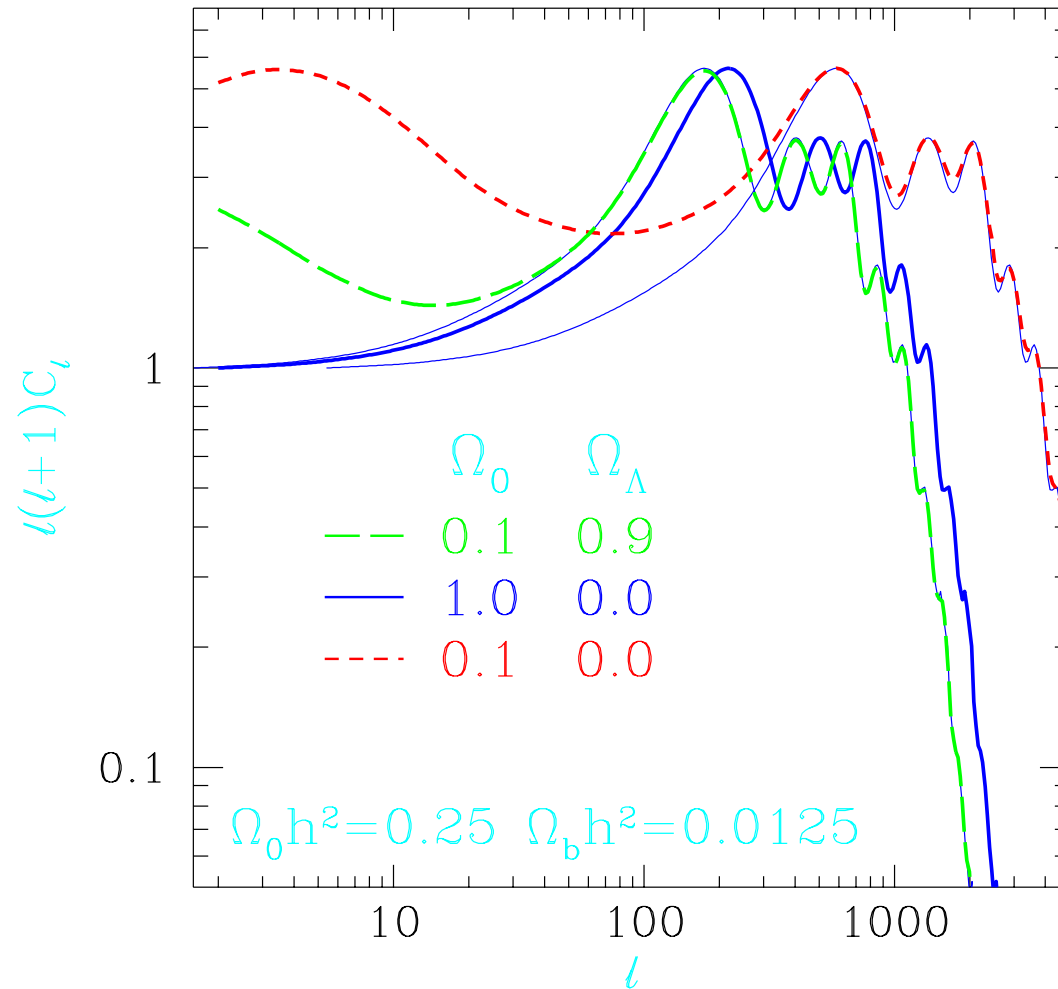
Wayne Hu, background.uchicago.edu

CMB: Massendichte



Wayne Hu, background.uchicago.edu

CMB: Raumzeitkrümmung



Wayne Hu, background.uchicago.edu

CMB und FPG: Motivation

- ▷ traditionelle Analyseverfahren: Entwicklung nach Kugelflächenfunktionen

CMB und FPG: Motivation

- ▷ traditionelle Analyseverfahren: Entwicklung nach Kugelflächenfunktionen
- ▷ Powerspektrum enthält nicht die gesamte Information

CMB und FPG: Motivation

- ▷ traditionelle Analysesemethode: Entwicklung nach Kugelflächenfunktionen
- ▷ Powerspektrum enthält nicht die gesamte Information
- ▷ alternativer Zugang: stochastische Analyse via FPG

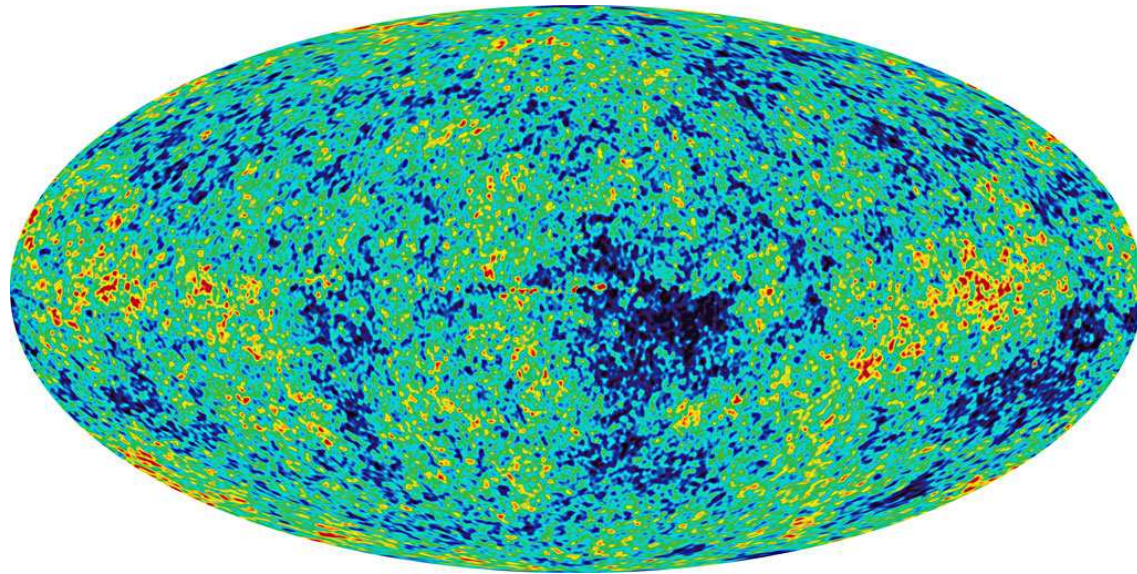
CMB und FPG: Motivation

- ▷ traditionelle Analysemethode: Entwicklung nach Kugelflächenfunktionen
- ▷ Powerspektrum enthält nicht die gesamte Information
- ▷ alternativer Zugang: stochastische Analyse via FPG
- ▷ interessant: Verteilung der Temperaturinkremente

CMB und FPG: Motivation

- ▷ traditionelle Analysemethode: Entwicklung nach Kugelflächenfunktionen
- ▷ Powerspektrum enthält nicht die gesamte Information
- ▷ alternativer Zugang: stochastische Analyse via FPG
- ▷ interessant: Verteilung der Temperaturinkremente
- ▷ Temperaturverteilung gaußsch, Verteilung der Inkremente zeigt Abweichungen

CMB und FPG: die Daten



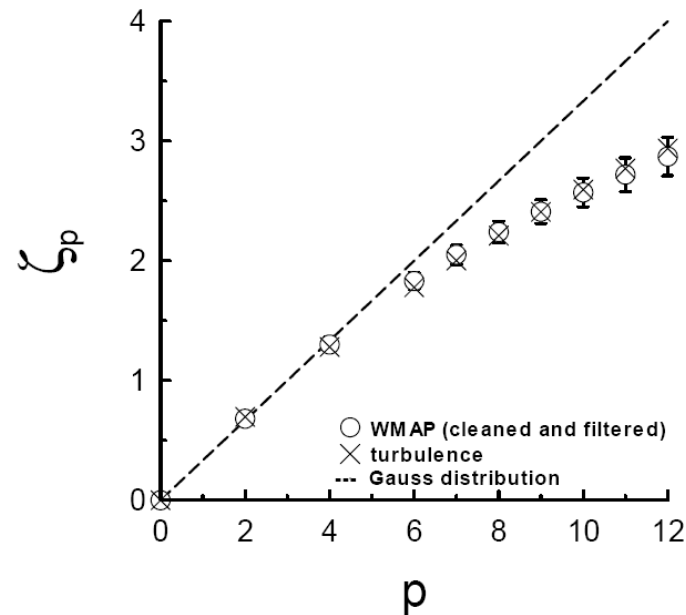
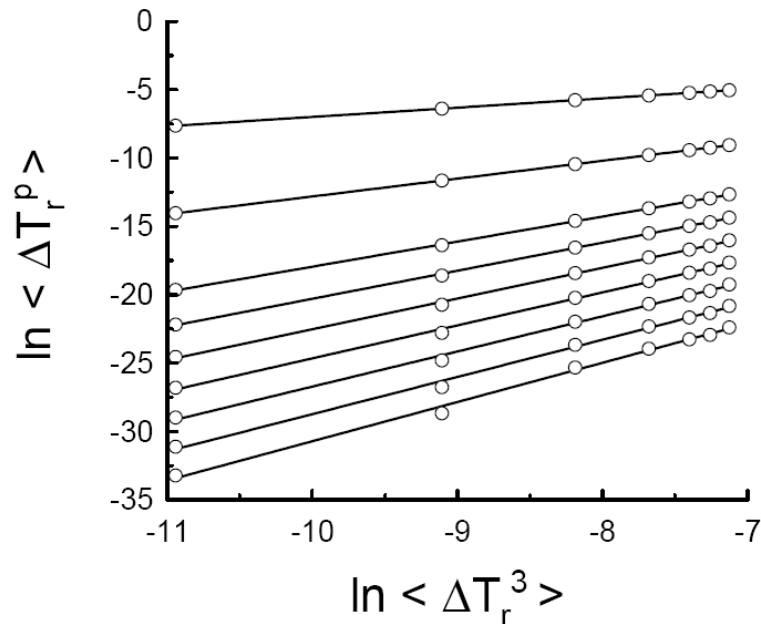
- ▷ gewichtete, gefilterte Linearkombination aus 5 Karten
- ▷ ca. $3 \cdot 10^6$ Pixel
- ▷ Auflösung ca. 1° , prinzipiell 0.2°

CMB: Abweichungen der Inkremente

betrachte Skalierungsverhalten

$$\langle |\Delta T_r|^p \rangle = \langle |\Delta T_r|^3 \rangle^{\zeta_p}$$

bei Gaußverteilung: $\zeta_p = \frac{p}{3}$

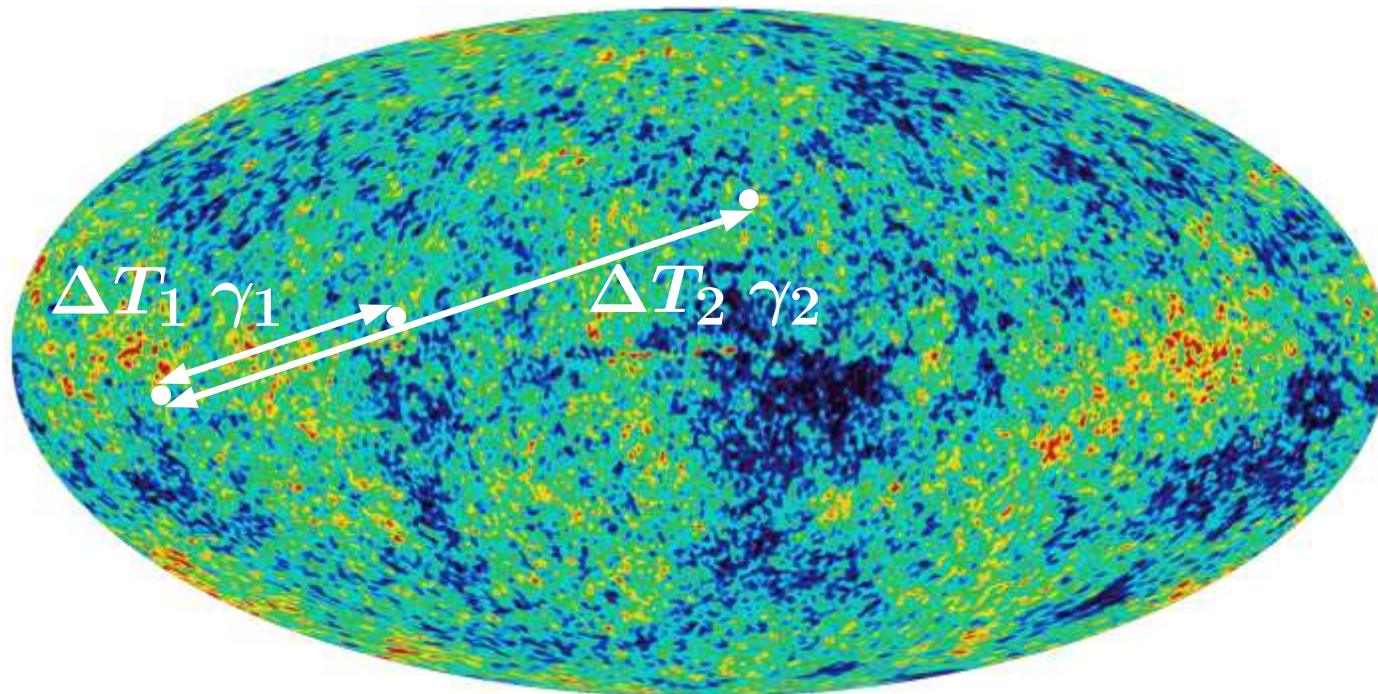


Sreenivasan et al.

CMB und FPG: das Ziel

- ▷ Evolutionsgleichung für Winkel und Temperaturfluktuationen
- ▷ Fokker-Planck Gleichung für $P(\Delta T, \gamma)$
- ▷ Drift- und Diffusionskoeffizienten aus den Daten schätzen
- ▷ bedingte Wahrscheinlichkeit $P(\Delta T_2, \gamma_2 | \Delta T_1, \gamma_1)$

CMB und FPG: die Methode



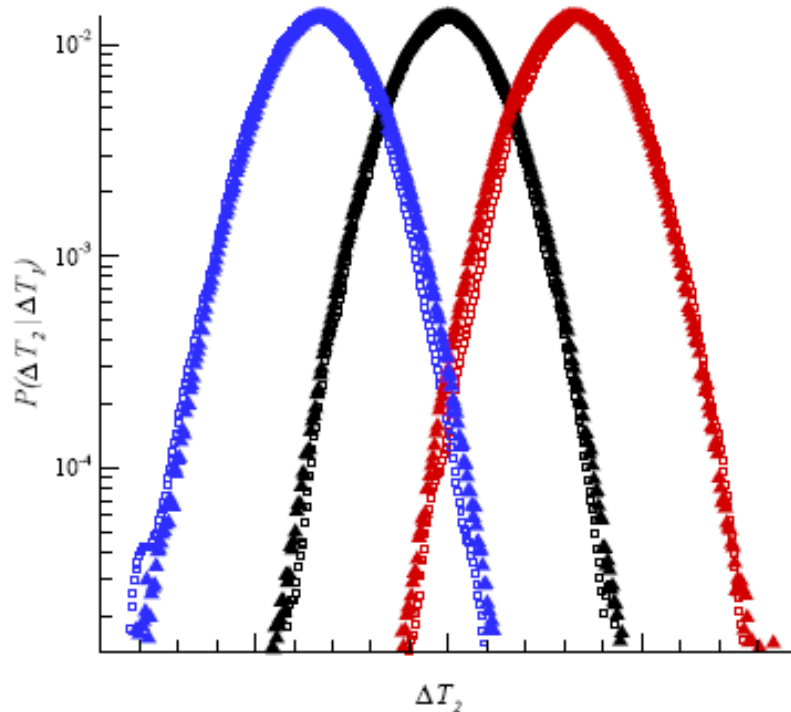
- ▷ erstelle bin mit $\Delta T_2, \gamma_2$ und $\Delta T_1, \gamma_1$
- ▷ berechne $P(\Delta T_2, \gamma_2 | \Delta T_1, \gamma_1)$

CMB und FPG: Chapman-Kolmogorov Gleichung

$$P(\Delta T_2, \gamma_2 | \Delta T_1, \gamma_1) = \int P(\Delta T_2, \gamma_2 | \Delta T_3, \gamma_3) P(\Delta T_3, \gamma_3 | \Delta T_1, \gamma_1) d\Delta T_3$$

CMB und FPG: Chapman-Kolmogorov Gleichung

$$P(\Delta T_2, \gamma_2 | \Delta T_1, \gamma_1) = \int P(\Delta T_2, \gamma_2 | \Delta T_3, \gamma_3) P(\Delta T_3, \gamma_3 | \Delta T_1, \gamma_1) d\Delta T_3$$



Ghasemi et al.:

$$\Delta T_1 = -0.761 \text{ mK} \quad \gamma_1 = 8^\circ$$

$$\Delta T_1 = 0 \text{ mK} \quad \gamma_1 = 1^\circ$$

$$\Delta T_1 = 0.761 \text{ mK} \quad \gamma_1 = 3^\circ$$

CMB und FPG: Koeffizienten

▷ nächstes Ziel: Drift- und Diffusionskoeffizienten schätzen

CMB und FPG: Koeffizienten

- ▷ nächstes Ziel: Drift- und Diffusionskoeffizienten schätzen
- ▷ Problem: kein reiner Markovprozess

CMB und FPG: Koeffizienten

- ▷ nächstes Ziel: Drift- und Diffusionskoeffizienten schätzen
- ▷ Problem: kein reiner Markovprozess
- ▷ Markoveigenschaft bricht bei endlichem Winkel zusammen

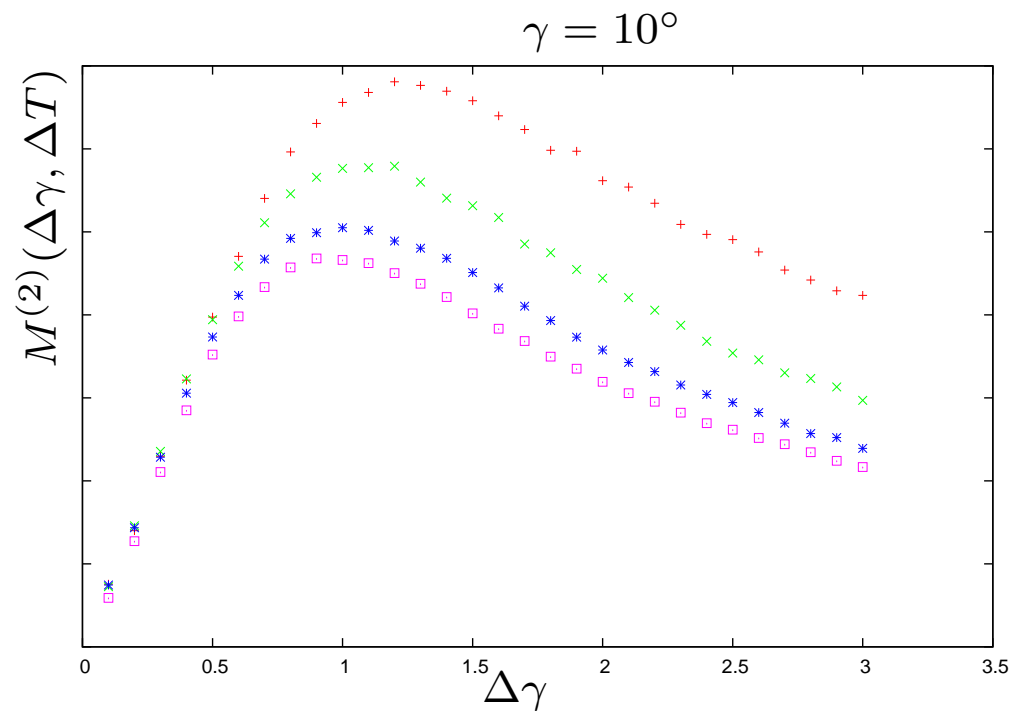
CMB und FPG: Koeffizienten

- ▷ nächstes Ziel: Drift- und Diffusionskoeffizienten schätzen
- ▷ Problem: kein reiner Markovprozess
- ▷ Markoveigenschaft bricht bei endlichem Winkel zusammen
- ▷ aber:

$$D^{(k)}(\Delta T, \gamma) = \frac{1}{k!} \lim_{\Delta\gamma \rightarrow 0} M^{(k)}$$

$$M^{(k)} = \frac{1}{\Delta\gamma} \int d\Delta T' (\Delta T' - \Delta T)^k P(\Delta T', \gamma + \Delta\gamma | \Delta T, \gamma)$$

CMB und FPG: Koeffizienten



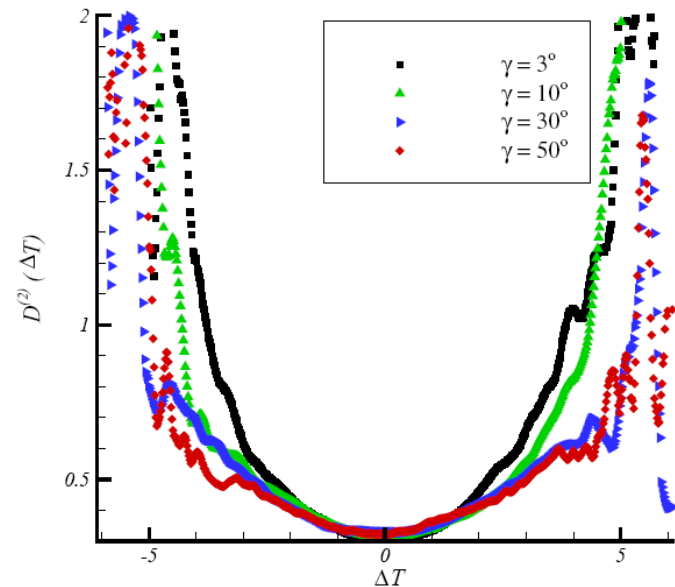
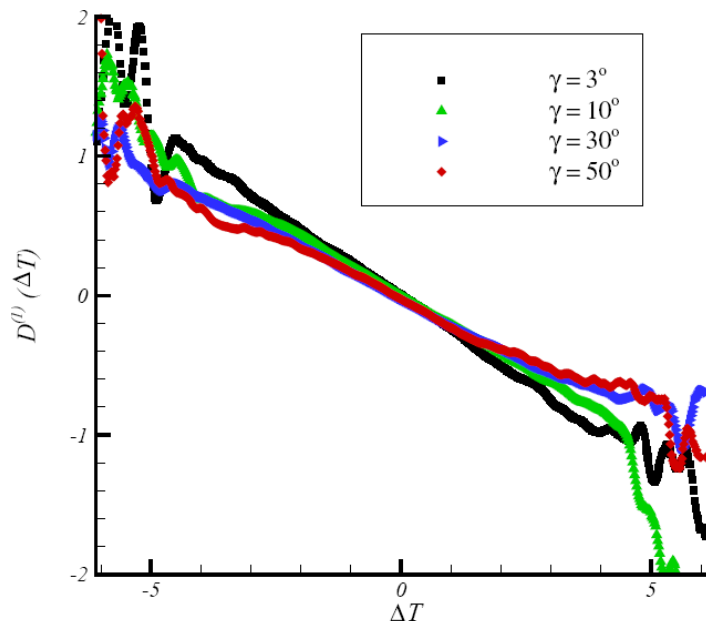
- ▷ Lösung: bestimme Markovwinkel
- ▷ extrapoliere zum Markovwinkel
- ▷ Ghasemi et al.: Markovwinkel entspricht dem Partikelhorizont

CMB und Fokker-Planck Gleichung

$$\frac{\partial}{\partial \gamma} P(\Delta T, \gamma) = \left(-\frac{\partial}{\partial \Delta T} D^{(1)}(\Delta T, \gamma) + \frac{\partial^2}{\partial \Delta T^2} D^{(2)}(\Delta T, \gamma) \right) P(\Delta T, \gamma)$$

CMB und Fokker-Planck Gleichung

$$\frac{\partial}{\partial \gamma} P(\Delta T, \gamma) = \left(-\frac{\partial}{\partial \Delta T} D^{(1)}(\Delta T, \gamma) + \frac{\partial^2}{\partial \Delta T^2} D^{(2)}(\Delta T, \gamma) \right) P(\Delta T, \gamma)$$



Ghasemi et al.

CMB und Fokker-Planck Gleichung

$$\frac{\partial}{\partial \gamma} P(\Delta T, \gamma) = \left(-\frac{\partial}{\partial \Delta T} D^{(1)}(\Delta T, \gamma) + \frac{\partial^2}{\partial \Delta T^2} D^{(2)}(\Delta T, \gamma) \right) P(\Delta T, \gamma)$$

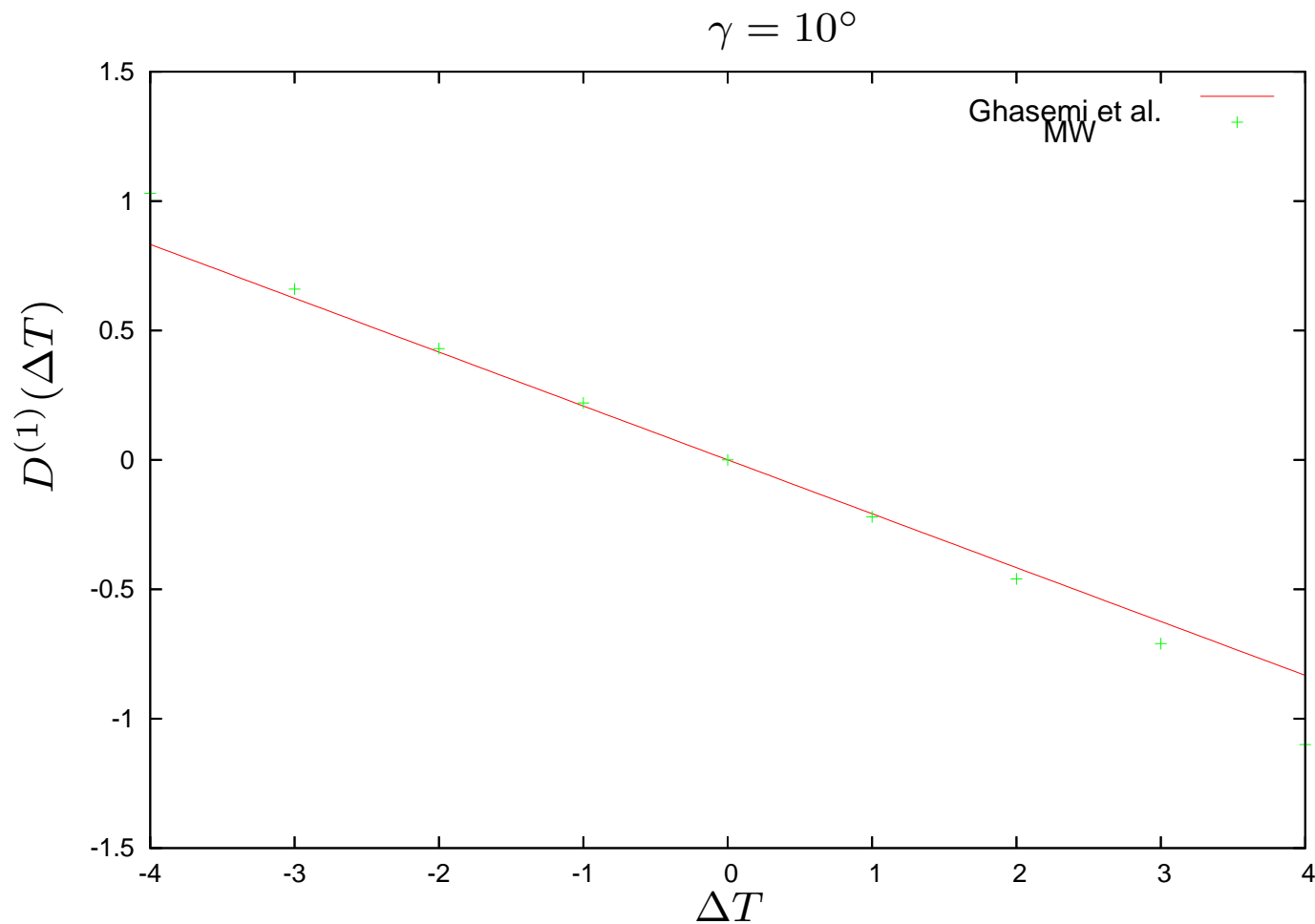
Drift- und Diffusionskoeffizienten:

$$D^{(1)}(\Delta T, \gamma) = \left(-0.190 - \frac{0.182}{\gamma} \right) \Delta T$$

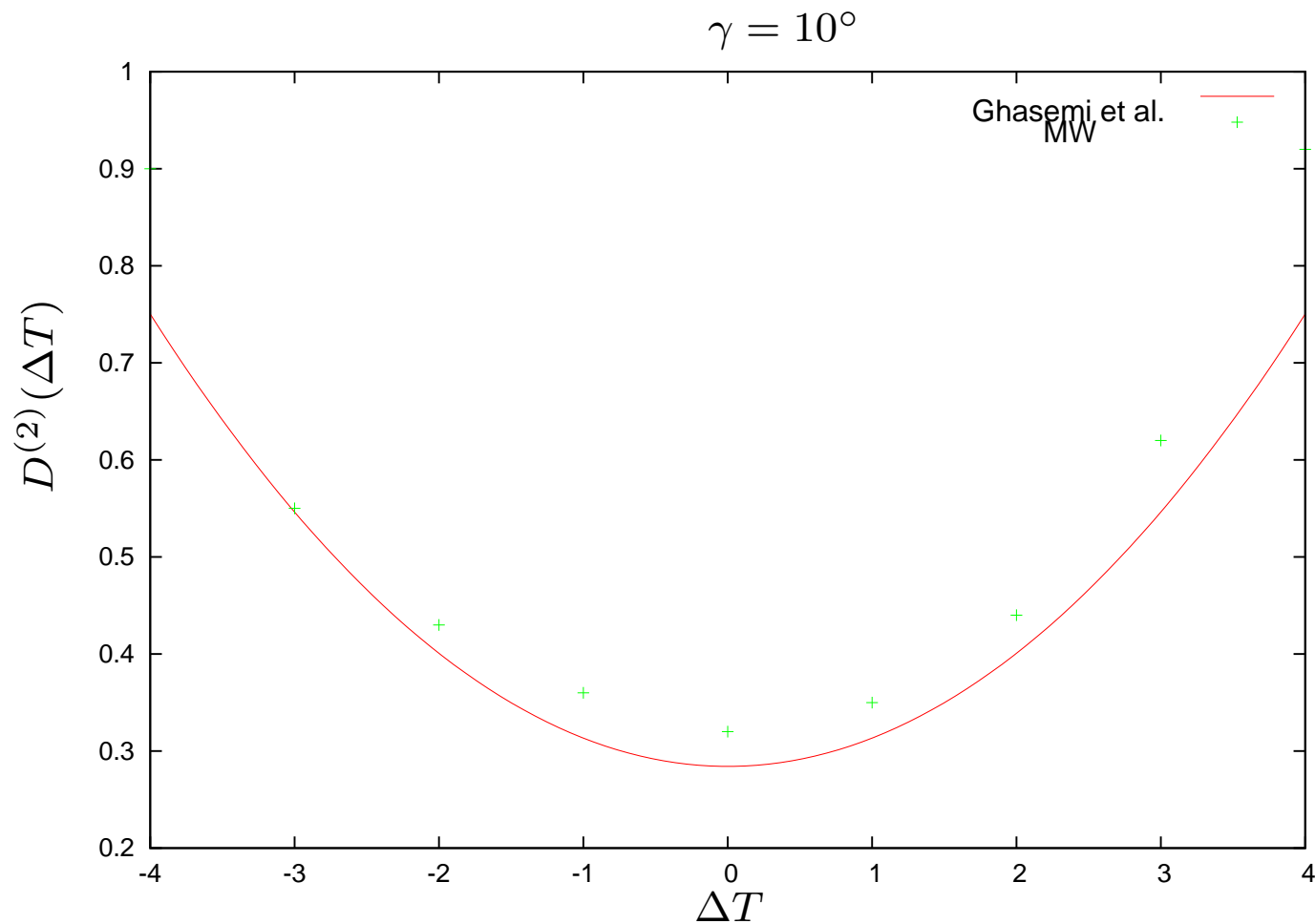
$$D^{(2)}(\Delta T, \gamma) = \left(0.021 + 0.025 \exp\left(-\frac{\gamma}{8.896}\right) \right) \Delta T^2 + 0.279 + \frac{0.014}{\gamma^{0.429}}$$

Ghasemi et al.

CMB und Fokker-Planck Gleichung: $D^{(1)}$



CMB und Fokker-Planck Gleichung: $D^{(2)}$



CMB und Fokker-Planck Gleichung

- ▷ CMB führt auf nichttriviale FPG

CMB und Fokker-Planck Gleichung

- ▷ CMB führt auf nichttriviale FPG
- ▷ (schwache) Abweichungen von Gaußverteilung

CMB und Fokker-Planck Gleichung

- ▷ CMB führt auf nichttriviale FPG
- ▷ (schwache) Abweichungen von Gaußverteilung
- ▷ zusätzliche Information zum Powerspektrum gewonnen

CMB und Fokker-Planck Gleichung

- ▷ CMB führt auf nichttriviale FPG
- ▷ (schwache) Abweichungen von Gaußverteilung
- ▷ zusätzliche Information zum Powerspektrum gewonnen
- ▷ Ziel: Verknüpfung von Statistik und Physik

CMB und FPG: Ausblick

▷ analog FPG für $P(T, \varphi)$

CMB und FPG: Ausblick

▷ analog FPG für $P(T, \varphi)$

▷ Äquivalenz:

$$\frac{\partial}{\partial \varphi} P(T, \varphi) = \left(-\frac{\partial}{\partial T} D^{(1)} + \frac{\partial^2}{\partial T^2} D^{(2)} \right) P(T, \varphi)$$
$$\iff \frac{\partial}{\partial \varphi} T(\varphi) = D^{(1)}(T) + \sqrt{D^{(2)}(T)} f(\varphi)$$

▷ $f(\varphi)$ Langevin Kraft

CMB und FPG: Ausblick

▷ analog FPG für $P(T, \varphi)$

▷ Äquivalenz:

$$\frac{\partial}{\partial \varphi} P(T, \varphi) = \left(-\frac{\partial}{\partial T} D^{(1)} + \frac{\partial^2}{\partial T^2} D^{(2)} \right) P(T, \varphi)$$
$$\iff \frac{\partial}{\partial \varphi} T(\varphi) = D^{(1)}(T) + \sqrt{D^{(2)}(T)} f(\varphi)$$

▷ $f(\varphi)$ Langevin Kraft

▷ Möglichkeit zur Reproduktion einer Karte mit ähnlichen statistischen Eigenschaften

CMB und FPG: Ausblick

▷ analog FPG für $P(T, \varphi)$

▷ Äquivalenz:

$$\frac{\partial}{\partial \varphi} P(T, \varphi) = \left(-\frac{\partial}{\partial T} D^{(1)} + \frac{\partial^2}{\partial T^2} D^{(2)} \right) P(T, \varphi)$$
$$\iff \frac{\partial}{\partial \varphi} T(\varphi) = D^{(1)}(T) + \sqrt{D^{(2)}(T)} f(\varphi)$$

▷ $f(\varphi)$ Langevin Kraft

▷ Möglichkeit zur Reproduktion einer Karte mit ähnlichen statistischen Eigenschaften

▷ Zusammenhang: Drift-/Diffusionskoeffizienten mit c_l

Referenzen

- [1] H. Risken, „The Fokker-Planck Equation“, Springer, Berlin, 1984
- [2] W. Hu, M. White, „The Cosmic Symphony“, Scientific American, 02/04
- [3] D. Scott, G.F. Smoot, arXiv: astro-ph/0406567 v1, 24.6.2004
- [4] W. Hu et al., arXiv: astro-ph/9504057, 18.4.1995
- [5] NASA/WMAP Science Team, map.gsfc.nasa.gov
- [6] W. Hu, background.uchicago.edu
- [7] A. Bershadskii, K.R. Sreenivasan, arXiv: astro-ph/0311444 v1, 19.11.2003
- [8] F. Ghasemi et al., arXiv: astro-ph/031227 v1, 9.12.2003